



НАУЧНО-ИССЛЕДОВАТЕЛЬСКОЕ УЧРЕЖДЕНИЕ
ИНСТИТУТ ЯДЕРНОЙ ФИЗИКИ
им. Г.И. Будкера СО РАН

В.39

В.В. Вечеславов

ДВУХЧАСТОТНОЕ ВОЗМУЩЕНИЕ
ГЛАДКОЙ ГАМИЛЬТОНОВОЙ СИСТЕМЫ

ИЯФ 2002-51

<http://www.inp.nsk.su/publications>

БИБЛИОТЕКА
Института ядерной
физики СО АН СССР
нр. № 1314



✓

НАУЧНО-ИССЛЕДОВАТЕЛЬСКОЕ УЧРЕЖДЕНИЕ
ИНСТИТУТ ЯДЕРНОЙ ФИЗИКИ им. Г.И.Будкера СО РАН

В.В. Вечеславов

ДВУХЧАСТОТНОЕ ВОЗМУЩЕНИЕ ГЛАДКОЙ ГАМИЛЬТОНОВОЙ СИСТЕМЫ

ИЯФ 2002-51

Новосибирск
2002

B.B.Вечеславов¹

Двухчастотное возмущение гладкой гамильтоновой системы

Институт ядерной физики им. Г.И. Будкера
630090 Новосибирск, Россия

Аннотация

Продолжено начатое ранее исследование семейства гладких непрерывных и дискретных двухпараметрических гамильтоновых систем с кусочно-линейной силой. Установлено, что для таких систем зависимость интеграла Мельникова-Арнольда от частоты является степенной и колебательной. Показано, что при наличии двух различных первичных возмущающих частот возникающая на их сумме вторичная гармоника может давать основной вклад в образование хаотического слоя. Для соответствующего гладкого отображения найдены области специальных значений параметра возмущения, при которых в условиях сильного локального хаоса верхняя сепаратриса дробных резонансов сохраняется, а нижняя разрушается и наоборот. Приведен пример того, что равенство нулю угла пересечения ветвей сепаратрисы в центральной гомоклинической точке не является достаточным условием сохранения сепаратрисы. Отмечено существенное различие в динамическом поведении гладких и аналитических систем.

PACS 05.45.+b

© Институт ядерной физики им. Г.И. Будкера СО РАН

1 Введение

Условия возникновения и развития динамического хаоса зависят, как известно, не только от величины возмущения, но и от гладкости динамической системы. Гладкость удобно характеризовать скоростью убывания Фурье-амплитуд. Для аналитического случая амплитуды убывают экспоненциально, при этом всегда существует конечный порог по возмущению ε_{tr} и глобальный хаос, охватывающий все доступное в системе фазовое пространство возможен только при $\varepsilon \gtrsim \varepsilon_{tr}$ [1,2,3]. Если потенциал является гладкой функцией, то его Фурье-амплитуды убывают лишь как некоторая степень $\beta + 1$ их номера, что существенно меняет характер движения (см., например, [4] и ссылки там). У зависящей от времени гладкой системы с одной степенью свободы порог $\varepsilon_{tr} > 0$ существует всегда при $\beta > \beta_{cr} = 3$ [4,13]. Однако, до недавнего времени в поведении систем с $\beta < \beta_{cr}$ оставалось еще много неясного.

Вместе с тем оказалось, что уже довольно давно появились математические работы [5,6,7], в которых утверждалось существование глобальных инвариантных кривых в гладких системах при $\beta = 2 < \beta_{cr}$. Особо подробной и полной оказалась работа Булита [7], где исследовалось симметричное кусочно-линейное 2D-отображение (СКЛО, $\beta = 2 < \beta_{cr}$). Булит строго доказал, что при специальных значениях параметра возмущения среди глобальных инвариантных кривых с рациональными числами вращения содержатся неразрушенные сепаратрисы целых и дробных резонансов. Все они имеют полную протяженность по фазе и потому являются непроходимыми барьерами для других траекторий, что исключает возможность глобальной диффузии по действию. Самым поразительным и неожиданным оказалось то, что система при этом не становится интегрируемой и сепаратрисы сохраняются в условиях сильного локального хаоса (см. рис.4 в [10]). Все это резко отличается от ситуации в типичных (то есть неинтегрируемых) аналитических системах, где при наличии других (хотя бы одного) резонансов именно сепаратрисы резонансов

разрушаются в первую очередь и на их месте образуются хаотические слои [1,2,3]. Историю вопроса и комментарий того поразительного факта, что эта важная и интересная работа не получила в свое время широкой известности можно найти в [13,14]).

Позже и независимо появилась теорема Овсянникова о сохранении сепаратрис целых резонансов для той же самой модели СКЛО [8]. В этой теореме не только точно указано множество соответствующих (так называемых критических) значений параметра, но и предложено явное и простое выражение для сепаратрисы. Именно теорема Овсянникова дала толчок к интенсивному исследованию СКЛО и родственных ему [9-14] (полный текст теоремы Овсянникова см. в Приложении к [10,11]). Заметим, что авторы работ [7,8] вынуждены были ограничиться исследованием только самих сохранившихся сепаратрис, ибо образующиеся при их расщеплении хаотические траектории не поддаются аналитическим исследованиям (это может быть сделано только в эксперименте - численном или физическом).

Дальнейшее изучение показало, что каждая из обнаруженных Були том глобальных инвариантных кривых (включая сепаратрисы целых и дробных резонансов), возникающая при некотором точном значении параметра, на самом деле существенно искажает структуру фазовой плоскости и в некоторой его конечной окрестности. На этом основании в работе [13] был предложен новый термин - виртуальная инвариантная кривая. Наличие таких виртуальных кривых приводит к совершенно новому и очень сложному типу транспортного процесса в гладкой системе - так называемой фрактальной диффузии, изучение которой только началось [13,14].

Из сказанного ясно, что гладкие системы обладают многими уникальными свойствами и что динамический хаос в них возникает и развивается по своим собственным и порой весьма оригинальным сценариям.

В настоящей работе, как и в предыдущих [12-14], рассматривается семейство гладких систем с двумя параметрами и с кусочно-линейной силой (его частным случаем является СКЛО) в двух вариантах - с непрерывным гамильтонианом и в виде отображения (раздел 2). Для непрерывной системы строится интеграл Мельникова-Арнольда и с его помощью устанавливается зависимость амплитуд сепаратрисного отображения от частоты. Известно, что амплитуды гармоник сепаратрисного отображения для аналитического случая экспоненциально и монотонно убывают с ростом частоты [1]. В разделе 3 показано, что для рассматриваемых нами гладких систем эта зависимость качественно другая - степенная и колебательная.

Рассматриваются особенности образования хаотического слоя при несимметричном двухчастотном возмущении. Аналогичное исследование для аналитического случая было сравнительно недавно выполнено в работах [15-17], где изучался гамильтониан возмущенного маятника вида

$$H(x, p, t) = \frac{p^2}{2} + \cos(x) + \varepsilon_1 \cos(x - \Omega_1 t) + \varepsilon_2 \cos(x - \Omega_2 t). \quad (1.1)$$

Первые же численные эксперименты показали, что в спектре сепаратрисного отображения этой системы помимо явно входящих в возмущение (1.1) частот Ω_1, Ω_2 присутствуют также комбинационные гармоники $\sim \varepsilon_1 \varepsilon_2$ на их сумме $\Delta\Omega_+ = \Omega_1 + \Omega_2$ и разности $\Delta\Omega_- = \Omega_2 - \Omega_1$. Еще более удивительным оказалось тот факт, что при определенных условиях именно эти гармоники играют решающую роль в формировании хаотического слоя. В [16] приведен пример, когда вклад вторичной гармоники $\Delta\Omega_+ = 3$ в амплитуду сепаратрисного отображения в несколько сотен раз превысил вклады от первичных гармоник. Возникло впечатление, что слабые первичные гармоники породили мощную вторичную и на этом их роль в образовании хаоса закончилась (факт, получивший полное численное подтверждение в работе [16]). Именно механизм возникновения и учета вторичных гармоник позволил объяснить и устраниТЬ давно известное расхождение (более чем в два раза) между величинами найденной теоретически через интеграл Мельникова-Арнольда и измеренной экспериментально амплитуд сепаратрисного отображения для стандартного отображения Чиркова [15].

В разделе 4 показано, что гармоника на сумме частот в полной мере проявляется себя и в рассматриваемых системах, в то время как на разности частот она не возникает. Здесь обсуждаются также особенности этого эффекта, связанные с отмеченным выше кардинальным различием в характере зависимости интеграла Мельникова-Арнольда от частоты для аналитического и гладкого случаев. Представление о том, сколь разные амплитуды и спектральный состав могут при этом иметь разные части хаотического слоя дает рис.2 настоящей работы.

В пятом разделе вновь рассматривается отображение. Здесь на примере дробного резонанса 1:3 показано, что имеется две области изменения параметра возмущения K , где верхняя и нижняя сепаратрисы этого резонанса ведут себя по-разному. В первой из них $1/3 <= K <= 1/4$ они обе сохраняются одновременно, т.е. при одних и тех же специальных значениях $K_{3,m}$, $m = 1, 2, ..$ (см. таблицу 1 в [10]). При $K < 1/4$ их поведение меняется: верхняя сепаратриса сохраняется при одних значениях параметра, а нижняя при других и происходит это поочередно

(см. рис.3). Объясняется механизм этого любопытного явления. Утверждается, что такое же поведение имеет место и для резонансов более высоких порядков.

В работах [9-11] при исследовании факта сохранения сепаратрис резонансов широко использовалась техника измерения угла пересечения ветвей в центральной гомоклинической точке. Считалось, что обращение этого угла в нуль есть доказательство сохранности сепаратрисы и отсутствия хаотического слоя. Это представление является ошибочным и в разделе 6 приводится опровергающий пример.

2 Гамильтониан задачи

В настоящей работе продолжается начатое в [11,12] исследование непрерывной системы с гамильтонианом вида

$$H(x, p, t) = H_0(x, p) + U(x, t), \quad H_0(x, p) = \frac{p^2}{2} + \omega_0^2 V(x), \quad (2.1)$$

и двухчастотным несимметричным возмущением

$$U(x, t) = \varepsilon_1 \cos(2\pi x - \Omega_1 t) + \varepsilon_2 \cos(2\pi x - \Omega_2 t), \quad (2.2)$$

которое считается слабым $|\varepsilon| \ll 1$, а частоты - высокими $|\Omega| \gg \omega_0$.

Потенциал этой системы $V(x) = 1/4 - \int f(x) dx$ порождается антисимметричной $f(-x) = -f(x)$ кусочно-линейной силой с периодом 1

$$f(x) = \begin{cases} 2x/(1-d), & \text{если } 0 \leq x < (1-d)/2, \\ (1-2x)/d, & \text{если } (1-d)/2 \leq x \leq (1+d)/2, \\ 2(x-1)/(1-d), & \text{если } (1+d)/2 < x \leq 1. \end{cases} \quad (2.3)$$

Формула (2.3) содержит параметр перекоса $0 < d < 1$, что позволяет исследовать сразу целое семейство пилообразных зависимостей (см. рис.1 в [12]). Отметим, что к настоящему времени наиболее полно изучен случай симметричной силы с $d = 1/2$.

"Зубья" пилы $|f(x)| = 1$ расположены в точках $x_{-1} = (1-d)/2$ и $x_{+1} = (1+d)/2$, где имеет место сингулярность - разрыв первой производной $f' = df/dx$:

$$\Delta f'(x_{\mp 1}) = \mp \frac{2}{d(1-d)}. \quad (2.4)$$

Потенциал может быть представлен рядом Фурье [13]

$$V(x) = \frac{1}{4} + \sum_{n \geq 1} \frac{f_n}{2\pi n^{\beta+1}} \cos(2\pi nx), \quad f_n = -\frac{2}{\pi^2} \frac{\cos(n\pi) \sin(n\pi d)}{d(1-d)}, \quad (2.5)$$

где $\beta = 2$ показатель гладкости системы.

При отсутствии возмущения система (2.1) является интегрируемой и описывает единственный резонанс, который считается основным и вблизи которого выбираются начальные условия. Каждая из гармоник возмущения также является резонансом. При $\Omega > 0$ этот резонанс расположен на фазовой плоскости выше основного, а при $\Omega < 0$ ниже, что дает основание называть их верхним и нижним, соответственно.

Движение по верхней невозмущенной сепаратрисе ($\varepsilon_1 = \varepsilon_2 = 0$) описывается функцией безразмерного времени $\psi = 2\omega_0 t$ вида

$$x_s(\psi_s) = \begin{cases} A_d e^{\psi_s/\sqrt{2(1-d)}}, & \text{если } -\infty < \psi_s < -\psi_{s,1}, \\ (1 + \sqrt{d} \sin(\psi_s/\sqrt{2d}))/2, & \text{если } -\psi_{s,1} \leq \psi_s \leq \psi_{s,1}, \\ 1 - A_d e^{-\psi_s/\sqrt{2(1-d)}}, & \text{если } \psi_{s,1} < \psi_s < \infty, \end{cases} \quad (2.6)$$

импульс находится дифференцированием $p_s = \dot{x} = 2\omega_0 dx_s/d\psi_s$ и используются обозначения $\psi_{s,1} = \sqrt{2d} \arcsin \sqrt{d}$, $A_d = (1-d)e^{\psi_{s,1}/\sqrt{2(1-d)}}/2$ (формулы (A1.4) и (A1.8) Приложения 1).

Относительное отклонение от невозмущенной сепаратрисы по энергии обозначено $w = H_0/H_{0,s} - 1$ при значении гамильтониана на сепаратрисе $H_{0,s} = \omega_0^2/4$. Период движения T_0 вблизи сепаратрисы вычисляется по формуле

$$T_0(w) = 2T_{s,1} + \frac{1}{\omega_2} \ln \frac{4\sqrt{1-d} \cos(\omega_1 T_{s,1})}{|w|}, \quad (2.7)$$

где $\omega_1 = \omega_0 \sqrt{2/d}$, $\omega_2 = \omega_0 \sqrt{2/(1-d)}$, $T_{s,1} = \arcsin \sqrt{d}/\omega_1$ (см. Приложение 1). При численном определении размеров хаотического слоя используется связь относительной энергии w с периодом движения T_0 , которая описывается обратной к (2.7) зависимостью

$$w(T_0) = 4\sqrt{(1-d)} \cos(\omega_1 T_{s,1}) e^{-\omega_2 (T_0 - 2T_{s,1})}, \quad (2.8)$$

Наряду с непрерывной системой (2.1),(2.2) мы будем также обращаться к дискретному отображению с тем же потенциалом, которое к настоящему времени достаточно полно изучено и динамическое поведение

которого оказалось весьма необычным [9-14]

$$\bar{p} = p + K f(x), \quad \bar{x} = x + \bar{p} \bmod 1, \quad (2.9)$$

где $K = \omega_0^2$. Отображение (2.9), как известно, также может быть представлено в виде непрерывной системы с гамильтонианом, явно зависящим от времени и с возмущением в форме толчков [13]:

$$H(x, p, t) = \frac{p^2}{2} + KV(x)\delta_1(t), \quad (2.10)$$

где $\delta_1(t) = 1 + 2 \sum_{m \geq 1} \cos(2\pi m t)$ обозначает δ -функцию периода 1.

Характерной особенностью силы (2.3) является наличие на ее периоде двух участков: с отрицательной ("эллиптический" участок) и положительной ("гиперболический" участок) значениями производной f' . Матрица линеаризованного отображения в неподвижной точке вычисляется по формулам

$$A = \begin{pmatrix} 1 + \Delta & 1 \\ \Delta & 1 \end{pmatrix}, \quad B = \begin{pmatrix} 1 - \Delta & 1 \\ -\Delta & 1 \end{pmatrix}, \quad (2.11)$$

где $\Delta = 2K/(1-d)$ и гиперболическому участку отвечает матрица A , а эллиптическому матрица B .

3 Интеграл Мельникова-Арнольда: зависимость от частоты

Возмущение (2.2) в общем случае разрушает сепаратрису основного резонанса и образует на ее месте хаотический слой, в котором следует различать три части: 1) верхняя - вращение фазы при $p > 0$, 2) средняя - колебания фазы и 3) нижняя - вращение фазы при $p < 0$. При несимметричном возмущении размеры этих частей могут сильно различаться, поскольку верхняя часть слоя формируется под влиянием в основном верхних резонансов, нижняя под влиянием нижних, а средняя - тех и других (см. рис.2 в следующем разделе). Мы будем для определенности в основном исследовать верхнюю часть хаотического слоя.

Рассмотрим верхнюю гармонику возмущения вида $\varepsilon \cos(2\pi m x - \tau - \tau_O)$, $\tau = \Omega t$, куда для общности введен дополнительный целый множитель m . Следуя описанной в [1] методике, будем искать вызванное этой

гармоникой изменение невозмущенной энергии H_0 за полупериод колебаний или период вращения:

$$\begin{aligned} \Delta H_0 &= -\varepsilon \int_{-\infty}^{\infty} \dot{p}(t) \frac{\partial U}{\partial x} dt = 2\pi m \varepsilon \int_{-\infty}^{\infty} p(t) \sin(2\pi m x - \tau - \tau_O) dt \\ &= 2\pi m \varepsilon \sin \tau_0 W_{MA}, \end{aligned}$$

где W_{MA} интеграл Мельникова-Арнольда

$$W_{MA} = - \int_{-\infty}^{\infty} p_s(t) \cos[2\pi m x_s(t) - \Omega t] dt, \quad (3.1)$$

учтена только четная функция в разложении $\sin(2\pi m x - \tau - \tau_O)$ и предположено, что система движется вблизи невозмущенной сепаратрисы. Переходя к безразмерному времени $\psi = 2\omega_0 t$ и вычисляя последнее соотношение с помощью (2.6) находим:

$$\begin{aligned} W_{MA}(\lambda > 0) &= \frac{1}{\sqrt{2}} \int_0^{\psi_{s,1}} \cos\left(\frac{\psi}{\sqrt{2d}}\right) \cos\left[\pi m \sqrt{d} \sin\left(\frac{\psi}{\sqrt{2d}}\right) - \lambda \psi\right] d\psi \\ &\quad - A_d \sqrt{\frac{2}{1-d}} \int_{\psi_{s,1}}^{\infty} e^{-\psi/\sqrt{2(1-d)}} \cos(2\pi m A_d e^{-\psi/\sqrt{2(1-d)}} + \lambda \psi) d\psi, \end{aligned} \quad (3.2)$$

где $\lambda = \Omega/2\omega_0$ есть параметр адиабатичности [1]. Нетрудно проверить, что если возмущение является нижней гармоникой вида $\cos(2\pi m x + \tau + \tau_O)$, $\tau = \Omega t$, то вместо (3.2) надо записать

$$\begin{aligned} W_{MA}(\lambda < 0) &= -\frac{1}{\sqrt{2}} \int_0^{\psi_{s,1}} \cos\left(\frac{\psi}{\sqrt{2d}}\right) \cos\left[\pi m \sqrt{d} \sin\left(\frac{\psi}{\sqrt{2d}}\right) + |\lambda| \psi\right] d\psi \\ &\quad + A_d \sqrt{\frac{2}{1-d}} \int_{\psi_{s,1}}^{\infty} e^{-\psi/\sqrt{2(1-d)}} \cos(2\pi m A_d e^{-\psi/\sqrt{2(1-d)}} - |\lambda| \psi) d\psi, \end{aligned} \quad (3.3)$$

Заметим, что полусумма выражений (3.2) и (3.3) при $m = 1$, $d = 1/2$ точно совпадает с формулой (12) работы [11], относящейся к симметричному одночастотному возмущению рассматриваемой здесь системы.

Амплитуда гармоники сепаратрисного отображения частоты Ω полностью определяется свойствами и поведением интеграла Мельникова-Арнольда, поскольку пропорциональна ему

$$W = \pm \max |w - \bar{w}| = \pm \frac{\Delta H}{H_{0,s}} = \frac{8\pi m \varepsilon}{\omega_0^2} W_{MA}. \quad (3.4)$$

Первый вопрос, на который предстоит ответить: по какому закону изменяется W_{MA} с ростом λ ? В Приложении 2 выполнены некоторые асимптотические ($\lambda \rightarrow \infty$) оценки интеграла Мельникова-Арнольда, которые позволяют сделать следующие выводы для системы (2.1), (2.2). Из формул (A2.2), (A2.3) Приложения 2 следует, что W_{MA} является периодической по λ функцией с периодом

$$T_\lambda = \frac{2\pi}{\psi_{s,1}} = \frac{\pi}{\arcsin \sqrt{d}} \sqrt{\frac{2}{d}}, \quad (3.5)$$

ее амплитуда $W_{MA, max}$ изменяется обратно пропорционально λ^3 , причем разницы для верхних и нижних гармоник нет

$$W_{MA, max}(\lambda) \approx \frac{|\lambda|^{-3}}{4d} \sqrt{\frac{1-d}{2}}. \quad (3.6)$$

Между тем численный счет показывает, что вклады верхней и нижней гармоник неравны. Для выяснения этого обстоятельства потребовалось учесть члены порядка λ^{-4} , что и позволило обнаружить небольшое различие между верхней и нижней гармониками (формулы (A2.4), (A2.5) Приложения 2)

$$W_{MA}(\lambda) \approx (-1)^m \frac{|\lambda|^{-3}}{4d} \sqrt{\frac{1-d}{2}} \left[1 \pm \pi |\lambda|^{-1} \sqrt{\frac{1-d}{2}} \right] \sin(\pi m d \mp |\lambda| \psi_{s,1}), \quad (3.7)$$

где верхние знаки отвечают верхней гармонике.

На рис.1 построены три зависимости приведенного интеграла Мельникова-Арнольда $W_{MA} \cdot |\lambda|^3$ для симметричной пилы $d = 1/2$. При значениях $d \neq 1/2$ характер этих зависимостей остается таким же, но гармоники сдвигаются по фазе. Видно, что формулы (3.7) качественно правильно передают характер этих зависимостей, хотя и нуждаются в числовых поправках. Заметим, что нули интеграла как раз и означают отсутствие расщепления сепаратрисы основного резонанса [11].

Полученные здесь результаты резко отличаются от случая аналитического потенциала (1.1), где W_{MA} всегда монотонная и экспоненциально убывающая функция λ . Более того, при одинаковых по модулю частотах вклад нижней гармоники в верхнюю часть хаотического слоя меньше вклада верхней гармоники в $e^{-\pi|\lambda|}$ раз [1]. В гладких системах все наоборот – с ростом частоты вклады в сепаратрисное отображение верхней и нижней гармоник сближаются. Столь глубокие различия двух обсуждаемых типов систем связаны, по-видимому, с существенно разным расположением сингулярностей интеграла Мельникова-Арнольда: для гладкого

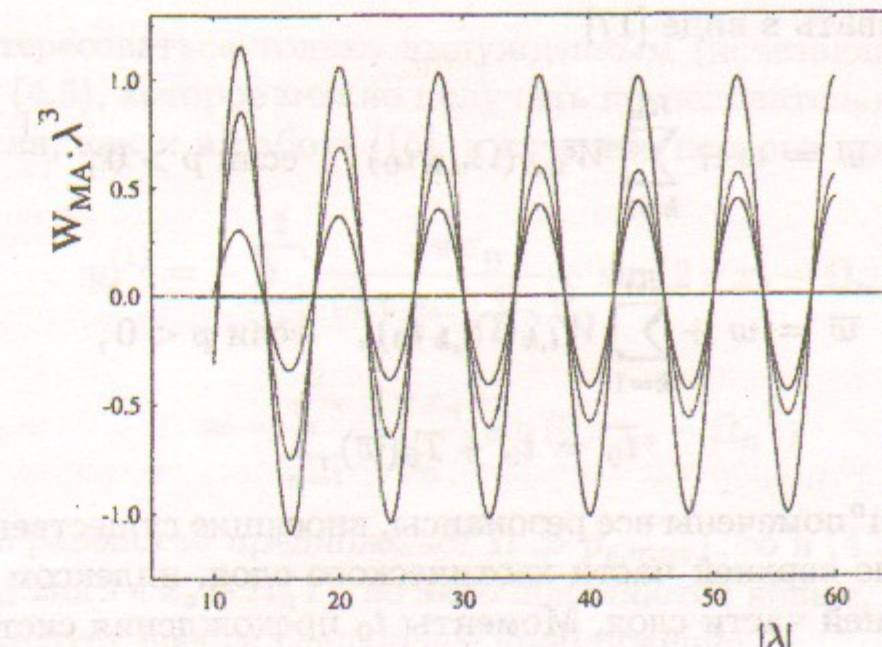


Рис.1: Зависимости интеграла Мельникова-Арнольда от параметра адабатичности $\lambda = \Omega/2\omega_0$. Внешняя кривая описывает совместное действие верхней и нижней симметричной гармоник возмущения, средняя – одной верхней и внутренняя – одной нижней гармоники.

потенциала (2.1) они находятся на действительной оси времени, а для аналитического потенциала (1.1) – в комплексной плоскости.

4 Вторичные гармоники в сепаратрисном отображении

Сепаратрисное отображение, впервые введенное в работе [18], приближенно описывает динамическое поведение системы в моменты прохождения ею положения устойчивого равновесия. Отвечающие за различные части слоя элементы этого отображения различаются не только по величине амплитуд, но и по спектральному составу (см. рис.2 ниже). В этом смысле несимметричное многочастотное возмущение качественно отличается от хорошо изученного случая одночастотного симметричного возмущения [1].

Во введении отмечалось, что в общем случае в сепаратрисном отображении помимо гармоник первичных (явно входящих в гамильтониан (2.1)) частот возникают также вторичные гармоники на их комбинациях. По этой причине сепаратрисное отображение для системы (2.1), (2.2)

следует записывать в виде [17]

$$\bar{w} = w + \sum_{k=1}^{K_u} W_{u,k}(\Omega_{u,k} t_0), \quad \text{если } p > 0, \quad (4.1)$$

$$\bar{w} = w + \sum_{k=1}^{K_l} W_{l,k}(\Omega_{l,k} t_0), \quad \text{если } p < 0, \quad (4.2)$$

$$\bar{t}_0 = t_0 + T_0(\bar{w}), \quad (4.3)$$

где индексом "u" помечены все резонансы, вносящие существенный вклад в формирование верхней части хаотического слоя, индексом "l" - то же самое для нижней части слоя. Моменты t_0 прохождения системой положений устойчивого равновесия $x = 0.5 \bmod(1)$ отсчитываются в шкале непрерывного времени. Если все частоты кратны некоторой опорной частоте Ω_0 , то последнее соотношение можно переписать в виде

$$\bar{\phi}_0 = \phi_0 + \Omega_0 T_0(\bar{w}), \quad \phi_0 = \Omega_0 t_0 \bmod(2\pi), \quad (4.4)$$

хотя, как показала практика, этого пересчета можно и не делать.

Формулы (3.2) - (3.4) предыдущего раздела позволяют найти в сепаратрисном отображении амплитуду любой гармоники, если только известна ее амплитуда ε в возмущении. С первичными гармониками проблем нет, поскольку они явно заданы в (2.2). Для поиска амплитуд возмущения вторичных гармоник введем, следуя работе [15], новые переменные $y(t) = x(t) - x_s(t)$, $u(t) = p(t) - p_s(t)$ и с помощью производящей функции вида $F_2(u, x, t) = [p_s(t) + u][x - x_s(t)]$ перейдем от (2.1) к новому гамильтониану $H(y, u, t)$, который описывает движение вблизи сепаратрисы. Учитывая слабость возмущения, раскладывая потенциал $V(x_s + y)$ в ряд Тейлора до второго порядка включительно и выполняя в гамильтониане приближенные замены $\sin(2\pi y) \rightarrow 2\pi y$, $\cos(2\pi y) \rightarrow [1 - (2\pi y)^2/2]$ приходим к уравнению движения вида

$$\begin{aligned} \frac{d^2 y}{dt^2} = y \left[-\omega_0^2 \left(\frac{d^2 V}{dx_s^2} \right) + 4\pi^2 \sum_{n=1}^2 \varepsilon_n \cos(2\pi x_s - \Omega_n t) \right] \\ + 2\pi \sum_{n=1}^2 \varepsilon_n \sin(2\pi x_s - \Omega_n t). \end{aligned} \quad (4.5)$$

Будем интересоваться только вынужденным (исчезающим при $\varepsilon \rightarrow 0$) решением (4.5), которое можно получить последовательными приближениями. Если, как и в работе [15], в качестве первого приближения принять

$$\begin{aligned} y_\varepsilon^{(1)} &= - \sum_{n=1}^2 \frac{2\pi\varepsilon_n}{(2\pi p_s - \Omega_n)^2} \sin(2\pi x_s - \Omega_n t) \\ &\approx - \sum_{n=1}^2 \frac{2\pi\varepsilon_n}{\Omega_n^2} \sin(2\pi x_s - \Omega_n t) \end{aligned}$$

(последнее равенство предполагает $\Omega \gg p_{s,max}$), то в (4.5) исчезают члены вида $\varepsilon_n \sin(2\pi x_s - \Omega_n t)$, но зато появляются новые, для ликвидации которых следует ввести следующее приближение

$$\begin{aligned} y_\varepsilon^{(2)} &\approx - \sum_{n=1}^2 \frac{2\pi\varepsilon_n}{\Omega_n^2} \sin(2\pi x_s - \Omega_n t) \\ &- \frac{2\pi^2 \varepsilon_1 \varepsilon_2}{(\Omega_2 - \Omega_1)^2} \left[\frac{1}{\Omega_2^2} - \frac{1}{\Omega_1^2} \right] \sin(\Omega_2 - \Omega_1)t + \dots \end{aligned} \quad (4.6)$$

и т.д. [15].

Возвращаясь к системе (2.1), (2.2) и принимая приближенно $x \approx x_s + y_\varepsilon^{(2)}$, $\cos 2\pi y_\varepsilon^{(2)} \approx 1$, $\sin y_\varepsilon^{(2)} \approx 2\pi y_\varepsilon^{(2)}$ убеждаемся в появлении в возмущении вторичных ($\sim \varepsilon_1 \varepsilon_2$) гармоник на сумме и разности частот. Отметим однако, что механизм их проникновения в сепаратрисное отображение существенно различный. Гармоника на сумме частот образуется от взаимодействия первого члена в (4.6) с первичными гармониками и, поскольку это точно совпадает с аналитическим случаем, для нее справедливы равенства 7 из [16] (которые следует лишь подкорректировать на другую нормировку фазы):

$$\varepsilon_+ \cos(4\pi x - \Delta\Omega_+ t), \quad \varepsilon_+ = -2\pi^2 \varepsilon_1 \varepsilon_2 \left[\frac{1}{\Omega_1^2} + \frac{1}{\Omega_2^2} \right], \quad (4.7)$$

где $\Delta\Omega_+ = \Omega_1 + \Omega_2$.

Гармоника на разности частот появляется иначе - от взаимодействия второго члена в (4.6) со второй производной потенциала $d^2 V/dx^2$ в (4.1), спектр которого (2.5) весьма богат (в отличие от (1.1), где $V(x) = \cos(x)$). Здесь возникает не две гармоники, как в [16], а бесконечно много и выделить из них одну самую существенную не удается.

Для иллюстрации эффекта возникновения вторичной гармоники на сумме частот рассмотрим систему (2.1), (2.2) со следующими параметрами

$$\omega_0^2 = 0.09, \quad \varepsilon_1 = \varepsilon_2 = 0.05, \quad \Omega_1 = 22.0, \quad \Omega_2 = -19.0, \quad \Omega_0 = 1.0 \quad (4.8)$$

и построим для нее сепаратрисные отображения всех трех частей слоя. Кратко поясним, как это делалось (подробности в [15]). Прежде всего на линии $x = 0.5$ с высокой точностью отыскивалась центральная гомоклиническая точка $P_{f\bar{b}}$ (как граница между вращением и колебанием фазы). Отличие от нуля угла пересечения ветвей сепаратрисы в этой точке указывало на наличие хаотического слоя (обратное неверно, см. раздел 6). Вблизи этой точки в исследуемой части слоя выбиралась узкий интервал $x = 0.5, P_{f\bar{b}} + \delta P$, из которого запускалась случайная траектория. Эта траектория либо совершила предписанное число периодов движения (интервалы времени T_0 между соседними прохождениями фазы $x = 0.5$), либо прерывалась из-за перехода в другую часть слоя. В обоих случаях из того же интервала запускалась новая случайная траектория, пока не набиралось требуемое число периодов N_p . Для каждого периода по формуле (2.8) вычислялась средняя энергия w . Определяя изменение $\delta w = \bar{w} - w$ энергии для каждой соседней пары периодов и приписывая его к общему для этой пары моменту времени t_0 можно построить сепаратрисное отображение $(\delta w)_k, t_{0,k}, k = 1, 2, \dots, N_p - 1$ в шкале непрерывного времени.

Именно таким путем получены точки на рис.2. Приведенные там же сплошные линии есть результат подгонки методом наименьших квадратов, с помощью которого находились амплитуды отдельных гармоник W (в скобках указаны значения частот). Измеренный вклад вторичной гармоники $W(3) \approx 3.03 \cdot 10^{-2}$ в формирование верхней части хаотического слоя более чем в сорок раз превышает вклады первичных гармоник. Теоретическое значение амплитуды $W_T(3)$ сепаратрисного отображение этой частоты, полученное с помощью формул (3.2), (4.7) и (3.4) равно $W_T(3) \approx 3.37 \cdot 10^{-2}$ ($\varepsilon_+ \approx 2.39 \cdot 10^{-4}$, $W_M \approx 0.505$).

На практике наибольший интерес представляют не амплитуды сепаратрисного отображения, а ширины (по относительной энергии w) частей слоя. Есть два практических способа получения этих величин - итерации сепаратрисного отображения и поиск минимального периода движения $T_{0,min}$ (размер слоя находится затем по формуле (2.8)). Применение этих способов для случая (4.8) относительно верхней части слоя дает согласующиеся по порядку величины $w_{st} \approx 0.19$ и $w_{st} \approx 0.32$ по первому и второму способу, соответственно. Для нижней части слоя аналогично находим

$w_{sb} \approx 0.016$ и $w_{sd} \approx 0.022$. Заметим, что первый из перечисленных выше способов приводит к результату значительно (в сотни раз) быстрее, что и оправдывает направленные на построение сепаратрисного отображения усилия.

5 Несимметрия в расщеплении верхней и нижней сепаратрис

В этом разделе вновь рассматривается отображение (2.9) с $d = 1/2$ и обсуждаются некоторые детали в поведении сепаратрис дробных резонансов. Напомним вначале на примере маятника как устроена сепаратриса [1].

Прежде всего, имеется седло - неподвижная точка, которую следует рассматривать как самостоятельную траекторию (невозмущенный маятник может оставаться в ней бесконечно долго). От седла в противоположных направлениях отходят и затем асимптотически к нему же приближаются еще две траектории (сепаратрисы), каждая из которых является пограничной между вращением фазы (вне резонанса) и ее колебанием (внутри резонанса). На фазовой плоскости в окрестности седла образуется характерный крест с двумя приходящими и двумя уходящими траекториями (см. рис.2.1 в [1]). Удобно ту из сепаратрис основного резонанса, для которой $(p_s = p_{st} > 0)$ считать верхней, а другую ($p_s = p_{sb} < 0$) нижней. Важно отметить, что на самом деле обе невозмущенные сепаратрисы состоят из двух пространственно совпадающих траекторий для направлений времени вперед и назад, соответственно. Возмущение расщепляет каждую сепаратрису на две ветви ("усы"), которые уже не совпадают друг с другом, но пересекаются в так называемых гомоклинических точках. Отличие от нуля угла пересечения ветвей в любой такой точке (обычно выбирается центральная, в (2.9) ей отвечает фаза $x_0 = 0.5$ [10]) является надежным свидетельством разрушения сепаратрисы и образования на ее месте хаотической траектории (обратное утверждение оказывается неверным, см. раздел 6).

Выше мы видели, что верхняя сепаратриса разрушается в основном верхней системой резонансов, нижняя сепаратриса - нижней и в общем случае эти системы не совпадают. Как следствие, верхняя и нижняя части хаотического слоя могут быть совсем разными (см. рис.2). В системе (2.9), как показал Булит, имеет место уникальное явление - сохранение (при специальных значениях параметра K) сепаратрис как целых, так и

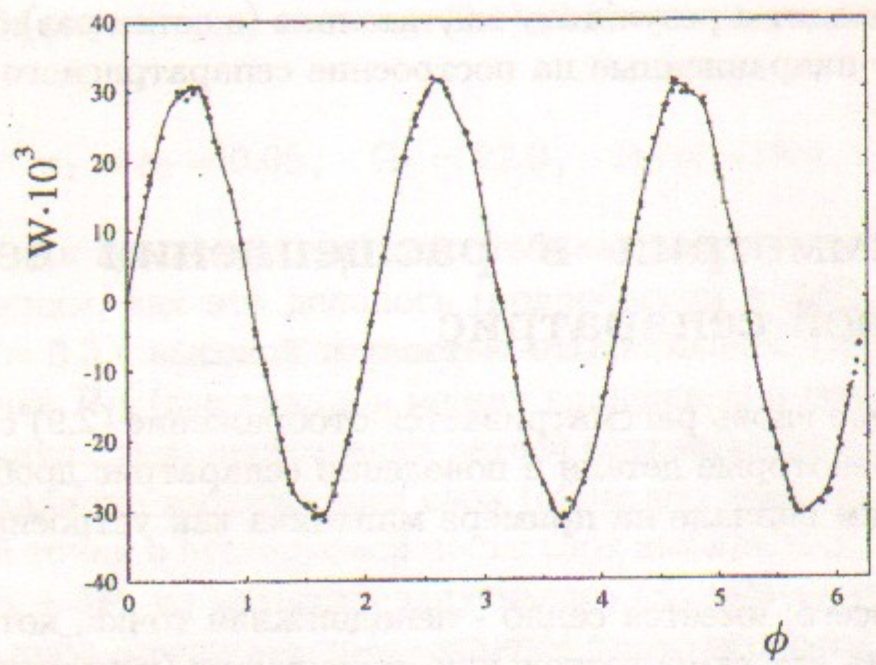


Рис.2а: Сепаратрисное отображение системы (2.1), (2.2) с несимметричным возмущением (4.8). Точки - численный счет, сплошные линии - подгонка наименьшими квадратами. Верхняя часть хаотического слоя (вращение фазы с $p > 0$). Амплитуды первичных гармоник $W(22) \approx 6.9 \cdot 10^{-4}$, $W(-19) \approx -4.9 \cdot 10^{-4}$, амплитуда вторичной гармоники на сумме частот $W(3) = 3.03 \cdot 10^{-2}$.

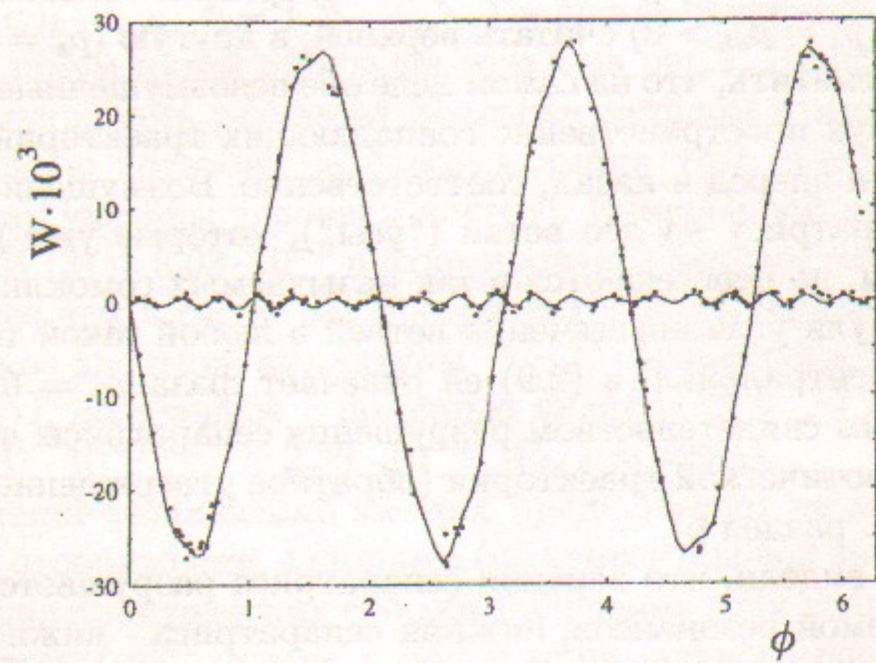


Рис.2б: То же, что и на рис.2а. Средняя часть хаотического слоя (колебания фазы). Две периодические кривые отражают действие верхних и нижних резонансов.

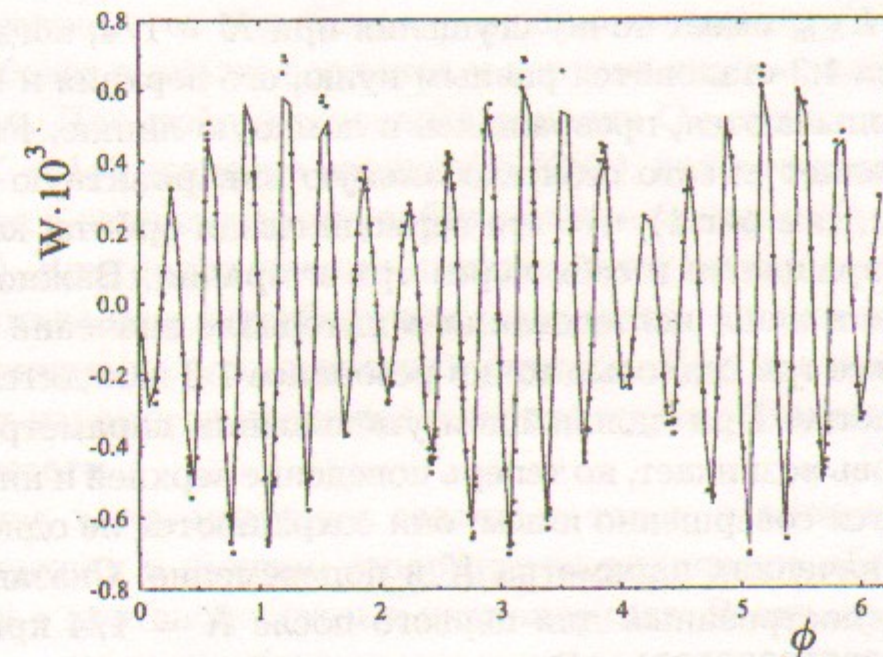


Рис.2с: То же, что и на рис.2а. Нижняя часть хаотического слоя (вращение фазы с $p < 0$). Амплитуды первичных гармоник $W(22) \approx 2.1 \cdot 10^{-4}$, $W(-19) \approx -4.8 \cdot 10^{-4}$, амплитуда вторичной гармоники $W(3) = 5.6 \cdot 10^{-5}$.

дробных резонансов в условиях сильного локального хаоса. Мы покажем, что для дробных резонансов этот процесс сопровождается любопытными деталями.

Объектом нашего рассмотрения будет дробный резонанс 1:3 и ниже приводятся полученные в работе [7] факты (дополнительные подробности имеются также в [10]). Значение $K = 1/3$ является наибольшим критическим числом, при котором сохраняются сепаратрисы всех резонансов (а не только резонанса 1:3) системы. Именно этими непрозрачными для других траекторий сепаратрисами (и только ими!) вымощен единичный квадрат фазовой плоскости, причем полная площадь этой мозаики точно равна площади квадрата (см. [7] и рис.6 в [10]). При плавном уменьшении величины $K > 1/4$ система проходит через множество специальных значений $K_{3,m}$, $m = 1, 2, \dots$, при каждом из которых одновременно сохраняются обе (верхняя и нижняя) сепаратрисы резонанса 1:3 (первые десять значений $K_{3,m}$ даны в таблице 1 в [10]). Это на первый взгляд вызывает некоторое недоумение. Систему резонансов выше и ниже исследуемого резонанса 1:3 никак нельзя считать симметричной. Ближайший самый сильный резонанс снизу целый, а сверху полуцелый, и тем не менее условия сохранения обеих сепаратрис точно совпадают. Интересно понять причину этого явления.

Множество $K_{3,m}$ имеет точку сгущения при $K = 1/4$, когда фазовый объем резонанса 1:3 становится равным нулю, его верхняя и нижняя сепаратрисы склоняются, превращаясь в ломаную линию. Резонанс исчезает, но оставляет вместо себя глобальную инвариантную кривую. В [7] показано (см. там рис.1), что это периодическая орбита, каждая точка которой возвращается в себя через три итерации. Важно отметить, что, как показали наши исследования в интервале значений параметра $1/4 < K \leq 1/3$ все три седловые точки резонанса 1:3 находятся на гиперболическом участке. При дальнейшем уменьшении параметра $K < 1/4$ резонанс 1:3 вновь возникает, но теперь поведение верхней и нижней сепаратрис становится совершенно иным: они сохраняются не одновременно, а при разных значениях параметра K и попарно. Сказанное иллюстрирует рис.3, построенный для первого после $K = 1/4$ критического числа $K = 0.1035533905931\dots$. Важно также отметить, что при $K \lesssim 1/4$ одна из седловых точек переходит с гиперболического участка на эллиптический.

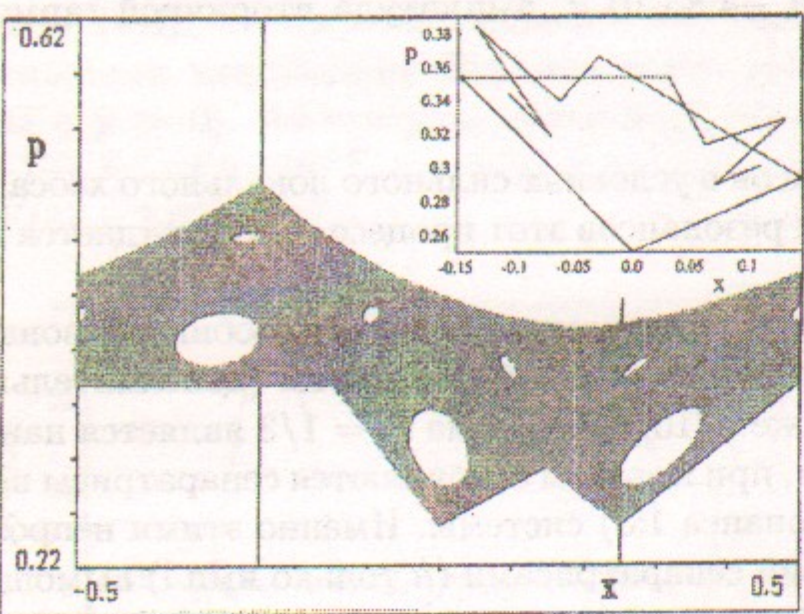


Рис.3: Параметры отображения (2.9) $K = 0.1035533905931..$, $d = 1/2$. Большое окно - единственная хаотическая траектория, ограниченная снизу нижней сепаратрисой резонанса 1:3 (число итераций $5 \cdot 10^9$). В малом окне показаны расщепившиеся ветви ("усы") верхней сепаратрисы и сохранившаяся нижняя сепаратриса этого резонанса между двумя соседними седловыми точками.

Предварительные численные эксперименты показывают, что при дальнейшем уменьшении параметра K найдется его значение, при котором уже две седловые точки перейдут на эллиптический участок и т.д.

Оказалось также, что подобное поведение имеет место и для дробных резонансов более высоких порядков и картина в целом выглядит следующим образом. Для любого резонанса порядка Q можно найти такое ближайшее к $K = 1/3$ значение параметра $K(Q)$, при котором этот резонанс вырождается в периодическую орбиту (для некоторых Q они приведены в работе [7]). Внутри указанного интервала все седловые точки этого резонанса принадлежат гиперболическому участку, а ниже его хотя бы одна из них переходит на эллиптический участок. При дальнейшем плавном уменьшении параметра число седловых точек на эллиптическом участке будет возрастать.

Описанная здесь миграция седловых точек и проясняет дело. Как известно, верхняя и нижняя сепаратрисы резонансов обходят свои седловые точки в противоположных направлениях. Выше отмечалось, что в самом начале процесса образования резонансных структур при $K = 1/3$ и на некотором интервале ниже этого значения все седловые точки резонанса Q находятся только на гиперболическом участке и матрица периодической неустойчивой орбиты есть просто A^Q (см.(2.11)) независимо от порядка обхода. Условия сохранения для нижней и верхней сепаратрис оказываются строго одинаковы и происходят при одном и том же критическом значении параметра возмущения K . Ситуация кардинально меняется после стадии вырождения резонанса в периодическую орбиту, поскольку одна из седловых точек пересекает на эллиптический участок и описывается теперь уже матрицей B . Именно здесь возникает несимметрия в поведении сепаратрис, так как одна из них совершает переход с гиперболического участка на эллиптический (матрица BA), а другая наоборот (матрица $AB \neq BA$). Вследствие этого верхняя и нижняя сепаратрисы сохраняются при разных значениях параметра K и делают это поочередно. Возникает вопрос: а если все седловые точки переселятся на эллиптический участок, то вновь начнется одновременное сохранение сепаратрис? Описанное здесь любопытное явление – еще одна из особенностей гладких систем.

6 Вместо заключения

Объектами нашего рассмотрения в данной работе были в основном нелинейные резонансы и их сепаратрисы. Во введении уже отмечалась, что важная роль в подобного рода исследованиях отводится измерению угла пересечения ветвей сепаратрис в центральной гомоклинической точке [9-11]. Эта величина является одним из очень немногих атрибутов хаоса, ко-

торая может быть измерена сколь угодно точно. Если этот угол отличен от нуля, то сепаратриса расщеплена и имеет место хаос. Возникает практически важный вопрос – является ли равенство этого угла нулю верным признаком сохранения сепаратрисы? До сих пор это всегда оказывалось так и подобное утверждение даже включено в некоторые наши работы. Однако, специально проведенные исследования показали, что это неверно. Нашлось заметное число систем, как непрерывных, так и отображений, где прохождение этого угла через нуль не означает сохранения сепаратрисы. Покажем это на примере усложненного стандартного отображения вида

$$\bar{p} = p + C [\sin(2\pi x) - a \sin(6\pi x)], \quad \bar{x} = x + \bar{p}. \quad (6.1)$$

с параметрами $C = 0.32395435\dots$, $a = 0.1$. Картинка расщепившихся ветвей верхней сепаратрисы дана на рис.4 (центральная гомоклиническая точка находится на линии $x = 0.5$). Характер касания здесь соответствует точке перегиба. По-видимому, правильный ответ о наличии или отсутствии хаоса может дать только построение полной картины поведения ветвей сепаратрисы для хода времени вперед и назад на интервале между двумя соседними гомоклиническими точками.

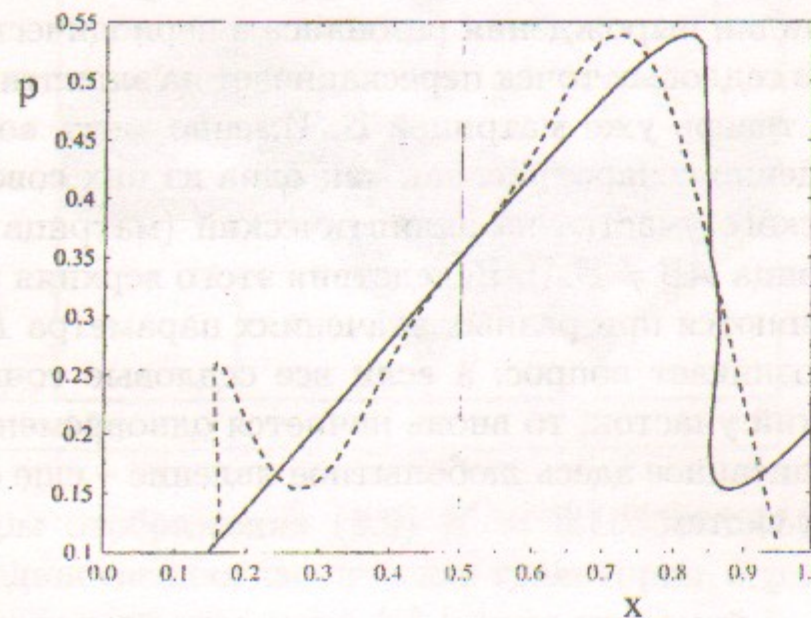


Рис.4: Отображение (6.1) с параметрами $C = 0.32395435\dots$, $a = 0.1$. Картинка расщепившихся ветвей верхней сепаратрисы. Измеренный угол в центральной гомоклинической точке равен нулю. Сплошная кривая соответствует ходу времени вперед, штриховая – назад.

Из изложенного выше видно, что почти во всех рассмотренных в данной работе вопросах в динамическом поведении гладких и аналитических

систем обнаружена существенная разница. Это является, по нашему мнению, убедительным поводом для дальнейшего изучения гладких систем.

Автор глубоко благодарен Б.В.Чиркову за обсуждения и советы. Работа частично поддержана Российским Фондом Фундаментальных Исследований (грант 01-02-16836) и комплексной научной программой РАН "Нелинейная динамика и солитоны".

Приложение 1.

Движение по невозмущенной сепаратрисе и вблизи нее

Значение гамильтониана на невозмущенной сепаратрисе равно $H_{0,s} = \omega_0^2/4$, что позволяет найти ее импульс как функцию координаты

$$\frac{p_s}{\omega_0} = \begin{cases} x_s \sqrt{2/(1-d)} & \text{если } 0 < x_s < (1-d)/2, \\ (1 - (2x_s - 1)^2/d)^{1/2}/\sqrt{2} & \text{если } (1-d)/2 < x_s < (1+d)/2, \\ (1 - x_s) \sqrt{2/(1-d)} & \text{если } (1+d)/2 < x_s < 1. \end{cases} \quad (A1.1)$$

Примем за начало отсчета безразмерного времени $\psi = 2\omega_0 t$ точку устойчивого равновесия $x = x_0 = 0.5$. Уравнение движения на интервале $x_0 \leq x_1 = (1+d)/2$ (назовем его первым) записывается в виде $\ddot{x} = -\partial H_0/\partial x = \omega_0^2(1-2x)/d$ и имеет решение

$$x(t) = \frac{1}{2} + \frac{p_0}{\omega_1} \sin \omega_1 t, \quad \omega_1 = \omega_0 \sqrt{\frac{2}{d}}, \quad (A1.2)$$

где p_0 – импульс в начальной точке $x_0 = 0.5$. Для сепаратрисы из второй строки (A1.1) в этой точке находим $p_{0,s}/\omega_0 = 1/\sqrt{2}$, что позволяет написать

$$x_s(\psi_s) = \frac{1}{2} \left[1 + \sqrt{d} \sin \frac{\psi_s}{\sqrt{2d}} \right], \quad p_s(\psi_s) = \frac{\omega_0}{\sqrt{2}} \cos \frac{\psi_s}{\sqrt{2d}}. \quad (A1.3)$$

Время $\psi_{s,1}$ движения по сепаратрисе на всем интервале определяется с помощью последнего уравнения из равенства

$$\frac{1+d}{2} = \frac{1}{2} \left[1 + \sqrt{d} \sin \frac{\psi_{s,1}}{\sqrt{2d}} \right]$$

и в конце первого интервала имеем

$$\begin{aligned} T_{s,1} &= \arcsin \sqrt{d}/\omega_1, \quad \psi_{s,1} = 2\omega_0 T_{s,1} = \sqrt{2d} \arcsin \sqrt{d}, \\ x_{s,1} &= \frac{1+d}{2}, \quad p_{s,1} = \omega_0 \sqrt{\frac{1-d}{2}}, \end{aligned} \quad (A1.4)$$

где $T_{s,1}$ обычное время.

Движение на втором интервале $(1+d)/2 < x < 1$ описывается уравнением $\ddot{x} = 2\omega_0^2(x-1)/(1-d)$ и имеет решение

$$x(t) = 1 - \frac{1-d}{2} \cosh \omega_2(t-T_1) + \frac{p_1}{\omega_2} \sinh \omega_2(t-T_1), \quad \omega_2 = \omega_0 \sqrt{\frac{2}{1-d}}, \quad (A1.5)$$

где T_1, p_1 время и импульс в конце первого интервала. При движении по сепаратрисе с учетом равенств (A1.4) имеем

$$x_s(t) = 1 - \frac{1-d}{2} [\cosh \omega_2(t-T_{s,1}) - \sinh \omega_2(t-T_{s,1})] = 1 - \frac{1-d}{2} e^{-\omega_2(t-T_{s,1})}. \quad (A1.6)$$

Возвращаясь к безразмерному времени ψ находим, что движение по сепаратрисе на втором интервале описывается следующими выражениями

$$x_s(\psi_s) = 1 - A_d e^{-\psi_s/\sqrt{2(1-d)}}, \quad p_s(\psi_s) = A_d \sqrt{\frac{2}{1-d}} e^{-\psi_s/\sqrt{2(1-d)}}, \quad (A1.7)$$

где обозначено

$$A_d = \frac{(1-d)}{2} e^{\psi_{s,1}/\sqrt{2(1-d)}} \quad (A1.8)$$

и значение $\psi_{s,1}$ берется из (A1.4). Все сказанное позволяет описать движение по всей сепаратрисе (см. формулы (2.6) основного текста).

Для определения периода движения вблизи сепаратрисы рассмотрим траекторию, стартующую из начальной точки $x_0 = 0.5$ с небольшим отклонением по импульсу от его значения на сепаратрисе $p_0 = p_{s,0} + \delta p_0$. Это изменит время прохождения первого интервала $T_{s,1}$ на величину δT_1 и импульс в конце этого интервала на величину δp_1 . Первую из них можно найти с помощью уравнения (A1.2):

$$\frac{1+d}{2} = \frac{1}{2} + \frac{p_{s,0} + \delta p_0}{\omega_1} \sin [\omega_1(T_{s,1} - \delta T_1)], \quad \rightarrow \quad \omega_1 \delta T_1 = \frac{\delta T_1}{p_{s,0}} \tan (\omega_1 T_{s,1}),$$

а вторую из соотношения

$$p_1 = p_{s,1} + \delta p_1 = (p_{s,0} + \delta p_0) \cos [\omega_1(T_{s,1} - \delta T_1)], \quad \rightarrow \quad \delta p_1 = \frac{\delta p_0}{\cos (\omega_1 T_{s,1})}.$$

Последнюю величину можно связать с относительным изменением энергии $w = 4H_0/\omega_0^2 - 1$. Поскольку $V(x_0 = 0.5) = 0$, то имеем

$$\begin{aligned} w &= \frac{2}{\omega_0^2} (p_{s,0} + \delta p_0)^2 - 1, \quad \rightarrow \quad \delta p_0 = \frac{\omega_0^2}{2p_{s,0}} w = \frac{\omega_0}{2\sqrt{2}} w \\ &\rightarrow \quad \delta p_1 = \frac{\omega_0}{2\sqrt{2} \cos (\omega_1 T_{s,1})} w. \end{aligned}$$

Обозначим через T_0 период движения по рассматриваемой траектории (интервал времени между соседними моментами прохождения устойчивой фазы $x_0 = 0.5$). Полагая $x = 1$, из уравнения (A1.5) получаем равенства

$$\tanh \left[\omega_2 \left(\frac{T_0}{2} - T_{s,1} \right) \right] = \frac{1-d}{2} \frac{\omega_2}{p_1} \approx 1 - \frac{\delta p_1}{p_{s,1}} = \xi,$$

при выводе которых учтено следующее из второй строки (A1.1) для $x_{+1} = (1+d)/2$ соотношение $p_{s,1}/\omega_0 = \sqrt{(1-d)/2}$ (см. также (A1.4)). Формула для периода движения вблизи сепаратрисы имеет вид

$$T_0(w) = 2T_{s,1} + \frac{1}{\omega_2} \ln \frac{1+\xi}{1-\xi} = 2T_{s,1} + \frac{1}{\omega_2} \ln \frac{4\sqrt{1-d} \cos (\omega_1 T_{s,1})}{|w|}. \quad (A1.9)$$

При $d = 1/2$ она точно совпадает с формулой (9) работы [11].

Приложение 2.

Интеграл Мельникова-Арнольда: оценки

Перепишем интеграл Мельникова-Арнольда (4.1) для верхней гармоники возмущения ($\Omega > 0$) в развернутой форме

$$W_{MA} = - \int_{-\infty}^{\infty} p_s [\cos(2\pi m x_s) \cos(\Omega t) + \sin(2\pi m x_s) \sin(\Omega t)] dt. \quad (A2.1)$$

Следя [12], будем брать этот интеграл по частям, интегрируя на каждом шаге члены с Ω и дифференцируя остальную часть. На третьем шаге под знаком интеграла появится Ω^{-3} и третья производная p_s по времени, которая порождает δ_1 -функцию в сингулярных точках $x_{-1} = (1-d)/2$ и $x_{+1} = (1+d)/2$:

$$\frac{d^3 p_s}{dt^3} = \frac{d^3 p_s}{dx^3} p_s^3 = p_s^3 \frac{2}{d(1-d)} [\delta_1(x - x_{+1}) - \delta_1(x - x_{-1})].$$

В этом выражении учтен только главный член с δ_1 -функциями и использована формула (2.4) для скачков производных. В сингулярных точках отношение $p_s/\omega_0 = \sqrt{(1-d)/2}$ (вторая строка в (A1.1) Приложения 1) и для первого слагаемого в (A2.1) получаем

$$-\frac{\lambda^{-3}}{8d} \sqrt{\frac{1-d}{2}} [\cos \pi m(1+d) \sin(\lambda\psi_{s,1}) - \cos \pi m(1-d) \sin(-\lambda\psi_{s,1})] = \\ (-1)^{m-1} \frac{\lambda^{-3}}{4d} \sqrt{\frac{1-d}{2}} \cos(\pi m d) \sin(\lambda\psi_{s,1}).$$

где $\lambda = \Omega/2\omega_0$ и $\psi_{s,1} = 2\omega_0 T_{s,1}$.

Действуя аналогично в отношении второго слагаемого в (A2.1) и складывая результаты получаем оценку интеграла Мельникова-Арнольда для верхней гармоники

$$W_{MA}(\lambda > 0) \approx (-1)^m \frac{\lambda^{-3}}{4d} \sqrt{\frac{1-d}{2}} \sin(\pi m d - \lambda\psi_{s,1}). \quad (A2.2)$$

Для нижней гармоники возмущения ($\lambda < 0$) аналогично находим

$$W_{MA}(\lambda < 0) \approx (-1)^m \frac{|\lambda|^{-3}}{4d} \sqrt{\frac{1-d}{2}} \sin(\pi m d + |\lambda|\psi_{s,1}), \quad (A2.3)$$

и она с точностью до сдвига по фазе вносит в амплитуду сепаратрисного отображения точно такой же вклад, как и верхняя гармоника, что не соответствует численному эксперименту. Дело оказывается в том, что разница между вкладами верхней и нижней гармоник возникает только в следующем ($\sim \lambda^{-4}$) порядке и для ее обнаружения надо четвертый раз взять интеграл по частям. Нетрудно проверить, что на сей раз следует рассмотреть два члена, содержащих в своем составе выражения $p_s \cdot (d^4 x_s/dt^4)$ и $\dot{x}_s \cdot (d^3 p_s/dt^3)$, которые вносят в W_{MA} одинаковый вклад. С учетом всех рассмотрений получаем окончательные выражения для верхней гармоники

$$W_{MA}(\lambda > 0) \approx \\ \approx (-1)^m \frac{\lambda^{-3}}{4d} \sqrt{\frac{1-d}{2}} \left[1 + \pi \lambda^{-1} \sqrt{\frac{1-d}{2}} \right] \sin(\pi m d - \lambda\psi_{s,1}), \quad (A2.4)$$

и для нижней гармоники

$$W_{MA}(\lambda < 0) \approx \\ \approx (-1)^m \frac{|\lambda|^{-3}}{4d} \sqrt{\frac{1-d}{2}} \left[1 - \pi |\lambda|^{-1} \sqrt{\frac{1-d}{2}} \right] \sin(\pi m d + |\lambda|\psi_{s,1}). \quad (A2.5)$$

Эти результаты обсуждаются в третьем разделе основного текста.

Список литературы

- [1] B.V.Chirikov. Phys.Reports, **52**, 263 (1979).
- [2] A. Lichtenberg and M. Lieberman. *Regular and Chaotic Dynamics*, Springer (1992).
- [3] Г.М.Заславский, Р.З.Сагдеев. *Введение в нелинейную физику*, Наука, Москва (1988).
- [4] B.V.Chirikov. Chaos, Solitons and Fractals, **1**, 79 (1991).
- [5] M.Wojtkowski. Commun. Math. Phys., **80**, 453 (1981); Ergodic Theory Dyn. Syst. **2**, 525 (1982).
- [6] M.Hénon, J.Wisdom. Physica D, **8**, 157 (1983).
- [7] S.Bullett. Commun. Math. Phys., **107**, 241 (1986). (1971).
- [8] Л.В.Овсянников. Частное сообщение, май 1999.
- [9] В.В.Вечеславов. *Необычная динамика пилообразного отображения*, Препринт ИЯФ 99-69, Новосибирск, 1999.
- [10] В.В.Вечеславов. *Динамика пилообразного отображения: 1. Новые численные результаты*. Препринт ИЯФ 2000-27, Новосибирск, 2000; E-print archive nlin.CD/0005048.
- [11] В.В.Вечеславов. ЖЭТФ, **119**, 853 (2001)
- [12] В.В.Вечеславов, Б.В.Чириков. ЖЭТФ, **120**, 740 (2001).
- [13] В.В.Вечеславов, Б.В.Чириков, ЖЭТФ, **122**, 175 (2002).

- [14] B.V.Chirikov and V.V.Vechevslavov. ЖЭТФ, 122, в печати (2002).
- [15] В.В.Вечеславов. ЖЭТФ 109, 2208 (1996).
- [16] В.В.Вечеславов, Письма в ЖЭТФ, 63 , 989 (1996).
- [17] V.V.Vechevslavov. Physica D, 131 55 (1999).
- [18] Г.М.Заславский, Н.Н.Филоненко. ЖЭТФ, 54, 1590 (1965).

B.B.Вечеславов

**Двухчастотное возмущение
гладкой гамильтоновой системы**

V.V. Vechevslavov

**Two-frequency perturbation
in smooth Hamiltonian systems**

ИЯФ 2002-51

Ответственный за выпуск А.М. Кудрявцев
Работа поступила 5.09.2002 г.

Сдано в набор 6.09.2002 г.

Подписано в печать 9.09.2002 г.

Формат бумаги 60×90 1/16 Объем 2.2 печ.л., 1.8 уч.-изд.л.

Тираж 90 экз. Бесплатно. Заказ № 51

Обработано на IBM PC и отпечатано на
ротапринте ИЯФ им. Г.И. Будкера СО РАН
Новосибирск, 630090, пр. академика Лаврентьевса, 11.